

بررسی اثر سالیسیلیک اسید در ایجاد مقاومت به سرما در دانهرست‌های تربچه^۱

پوراکبر لطیفه و مجید نوجوان اصغری: دانشگاه ارومیه

چکیده

به منظور بررسی تاثیر سالیسیلیک اسید(SA) بر افزایش تحمل به سرما، دانهرست‌های دو روزه تربچه ۲۴ ساعت با محلول SA با غلظت‌های مختلف(۰،۰/۵، ۱، ۱/۵ و ۲ میلی‌مولار) پیش تیمار شده‌اند سپس به مدت ۴۸ ساعت تحت تنفس سرما (۲/۵ °C) قرار گرفتند. آزمایش‌های انجم یافته نشان داد که تحمل به سرما در این دانهرست‌ها افزایش یافت. این پدیده از طریق کاهش نشت⁺ k و قندهای محلول به محیط کشت و افزایش طول ریشه دانهرست‌ها بالاخص در غلظت ۰/۰ میلی‌مولار نشان داده شد. این نتایج نشان‌دهنده آن است که بین غلظت SA و کاهش صدمه سرما رابطه مستقیم وجود دارد. با سنجش فعالیت سه آنزیم آنتی‌اکسیدان، آسکوربیات پراکسیداز(APX)، گلیکول پراکسیداز(GPX) و کاتالاز(CAT) در اندام هوایی و ریشه‌های دانهرست‌های تربچه نشان داده شد که مقاومت القایی حاصل از SA به سرما در دانهرست‌های تربچه با افزایش فعالیت این سه آنزیم آنتی‌اکسیدانی همراه است.

مقدمه

محرك‌هایی مثل بنزیل آدنین، هومیک اسید، آمینو اسیدها و سیلیکات‌ها موجب افزایش فعالیت آنتی‌اکسیدان‌ها می‌شوند [۲۶]. این آنتی‌اکسیدان‌ها، متاپولیت‌ها و آنزیم‌هایی هستند که رادیکال‌های آزاد را جارو می‌کنند. رادیکال‌های آزاد اکسیژن مثل سوپراکسید، هیدروژن پراکسید و رادیکال‌های هیدروکسیل در اثر سرما تجمع می‌یابند [۸]. آنتی‌اکسیدان‌ها با همکاری یکدیگر موجب فرون Shanی سمیت رادیکال‌های آزاد می‌شوند و سلول‌های گیاهی را در مقابل آسیب دیدگی محافظت می‌کنند. یکی از این محرك‌های زیستی سالیسیلیک اسید است [۲۶]. SA به عنوان ماده‌ای که دارای اثر متنوع فیزیولوژیکی در رشد و نمو گیاهان است شناخته شده است [۱۷]. به هر حال، قسمت اعظم شواهد علمی پیشنهاد می‌کنند که SA نقشی کلیدی در ایجاد مقاومت سازگانی و دفاعی دارد [۶، ۷، ۲۵]. اصولاً به کارگیری محرك‌های زیستی چند هفته قبل از اعمال تنفس موجب مقاومت در برابر تنفس می‌شود [۲۶]. نشان داده شده است که تیمار با SA موجب تحمل به گرما از طریق افزایش فعالیت آنتی‌اکسیدان‌ها در دانهرست‌های خردل می‌شود [۵]. در محافظت در برابر صدمات اکسیدانتیو

کلمات کلیدی: سالیسیلیک اسید، تحمل سرما، تربچه، آنزیم‌های آنتی‌اکسیدان.

۱-Raphanus sativus L.

الایی در آر ابیدوپسیس، SA دارای نقشی اساسی است [۱۵]. محلول پاشی دانهرستهای خردل با SA در غلظت‌های بین ۱۰۰۰ میکرو مولار به طور معنی‌داری تحمل به شوک حرارتی در ${}^{\circ}\text{C}$ ۵۵ به مدت ۱/۵ ساعت را موجب می‌شود [۵]. به علاوه با بررسی ذرت نشان داده شده است که SA صدمه سرما را در این گیاه در غلظت ۵٪ میلی‌مولار کاهش می‌دهد و موجب محافظت در مقابل تنش دماهای پایین می‌شود. در این آزمایش نشان داده شده است که تیمار SA هیچ تغییری در فعالیت آنزیم‌های آسکوربات پراکسیداز (APX) و سوپر اکسید دیسموتاز (SOD) نمی‌دهد، ولی فعالیت کاتالاز (CAT) را کاهش می‌دهد و فعالیت گایاکول پراکسیداز (GPX) و گلوتاتیون ردوکتاز (GR) بعد از یک روز تیمار با SA افزایش می‌یابد [۱۲]. همچنین، مشخص شده است که در تنش سرما تشکیل پرولین و پروتئین‌های ویژه القا شونده با سرما، سنتز دی هیدرین‌ها را موجب می‌شود [۳]. با این حال با بررسی دانهرستهای خیار مشخص شد که تنش سرما موجب افزایش نشت الکتروولیت‌ها و کاهش رشد ریشه می‌شود [۲۰، ۲۱]. از طرف دیگر سرما غلظت ترکیب‌های سمی اکسیژن را در بافت‌های حساس افزایش می‌دهد [۱۰، ۱۱، ۲۴]. گزارش‌هایی وجود دارد که تعدادی از آنزیم‌ها در محافظت گیاهان از آسیب‌های اکسیداتیو نقش دارند [۲، ۹]. نشان داده شده است که همبستگی مستقیمی بین فعالیت آنزیم‌های آنتی‌اکسیدان و مقاومت به سرما وجود دارد. برای نمونه در رقم خیار مقاوم به سرما فعالیت آنزیم SOD و APX در برگ‌ها نسبت به رقم حساس به سرما بیشتر است [۲۲]. گزارش شده است که در فلفل، ذرت، خیار [۱۳] و دانهرستهای برنج [۱۴] که با محلول‌های SA تیمار شده‌اند، SA اثر معنی‌داری در تحمل به سرما در این گیاهان داشته است. از طرف دیگر، گزارش شده است که SA در پس خور O_2^- و فعالیت پراکسیداز در گیاهان درگیر است [۱۸]. هدف این آزمایش‌ها بررسی اثر SA در ایجاد تحمل به سرما در دانهرستهای تربچه و نحوه تغییر فعالیت آنزیم‌های APX، GPX و CAT در آن بود.

مواد و روش‌های آزمایشگاهی

برای این تحقیق از بذر تربچه رقم هلندی^۱ استفاده شد. بعد از تهیه بذرها از بازار محلی به تعداد ۱۰ عدد در داخل پتری دیش‌های ضدغونی شده که حاوی دو عدد کاغذ صافی و ۵ ml آب مقطر بود کشت شدند. بعداً تمام ظروف به انکوباتور ${}^{\circ}\text{C}$ ۲۵ منقل و به مدت ۴ ساعت در آن نگهداری شدند. بعد از گذشت ۴ ساعت دانهرستهای دو روزه که طول ریشه چه آن‌ها به یک سانتی‌متر رسیده بود انتخاب و به داخل پتری‌های محتوی دو عدد کاغذ صافی و ۷ ml محلول‌های SA با غلظت‌های ۰، ۰/۵، ۱، ۱/۵ و ۲ میلی‌مولار منقل شدند. برای هر تیمار ۶ تکرار در نظر گرفته شد. بعد از انتقال دانهرست‌ها به تیمارهای SA، دوباره پتری دیش‌ها به مدت ۲۴ ساعت در داخل انکوباتور ${}^{\circ}\text{C}$ ۲۵ قرار گرفتند بعد از ۲۴ ساعت پتری دیش‌ها به دو قسمت تقسیم شد.

^۱-Raphanus Sativus L.

از هر غلظت ۳ تکرار جهت تیمار سرما به داخل یخچال با درجه حرارت 0°C ۲/۵ منتقل شد و ۴ ساعت دیگر در تیمار مورد نظر باقی ماندند. بعد از آن اندازهگیری‌های لازم جهت تعیین صدمه سرما و اثر SA در ایجاد مقاومت به سرما انجام گرفت.

اندازهگیری K^{+} نشست یافته به محیط کشت

پتری دیش‌های محتوی دانه‌رست‌های دو روزه بعد از تیمار سرما در 0°C ۲/۵ به مدت ۴۸ ساعت از یخچال خارج شد و به مدت ۲۴ ساعت در انکوباتور 0°C ۲۵ قرار گرفتند. سپس، کاغذ صافی به همراه دانه‌رست‌ها از پتری‌ها خارج و محلول باقی مانده در پتری‌ها به لوله‌های آزمایش کوچک منتقل شد. میزان K^{+} محلول‌ها با دستگاه فلم فتومنتر مدل فلیم فوتومتر^۱ ۴۰۵ اندازهگیری شد.

اندازهگیری قند‌های نشست یافته به محیط کشت

پتری دیش‌های محتوی دانه‌رست‌های دو روزه بعد از تیمار سرما به مدت ۴۸ ساعت در 0°C ، دوباره به مدت ۲۴ ساعت در انکوباتور 0°C ۲۵ قرار گرفتند. سپس کاغذ صافی به همراه دانه‌رست‌ها از داخل پتری‌ها خارج شد و از محلول باقی مانده ml ۲ به داخل لوله‌های آزمایش منتقل شد. بر روی هر یک از لوله‌ها ۱ ml فل 5% اضافه شده سپس ml ۳ سولفوریک اسید 98% با فشار بر روی آن‌ها اضافه شد. لوله‌ها به مدت یک ساعت به حال خود رها شدند بعد از یک ساعت و ظهرور رنگ قرمز فورفورال جذب با دستگاه اسپکتروفتومنتر در طول موج ۴۸۵ نانومتر اندازهگیری شد [۱].

اندازهگیری طول ریشه‌های دانه‌رست‌ها

بعد از انتقال دانه‌رست‌های دو روزه به غلظت‌های مختلف SA، تمام پتری دیش‌ها به مدت ۳۰ ساعت در 0°C ۲/۵ قرار گرفتند. بعد از ۳۰ ساعت همه آن‌ها به آون 0°C ۲۵ منتقل شدند. طول ریشه دانه‌رست‌ها ۱۲ ساعت بود که بعد از انتقال با خط کش در حد میلی‌متر اندازهگیری شد. این عمل برای تیمار 0°C ۲۵ نیز انجام گرفت [۱۴].

طرز تهیه عصاره گیاهی جهت انجام فعالیت آنزیم‌ها در تیمارهای سرما دیده و 0°C ۲۵

برای تهیه عصاره گیاهی از روش کانگ^۲ و همکاران (۲۰۰۲) با تغییر جزیی استفاده شد. به میزان ۰/۵ g وزن تر بافت از هر دو اندام ریشه و اندام هوایی به طور جداگانه از همه تیمارها توزین شد و سپس به داخل هاون سرد منتقل شد و توسط ml ۳ بافر شامل (باfer تریس-HCl ۰/۰۵ pH ۷/۵، MgCl_2 ۰/۰۵ میلی‌مolar، EDTA ۱ میلی‌مolar) با دسته هاون ساییده شد. باfer استخراجی جهت اندازهگیری فعالیت آنزیم آسکوربات

پراکسیداز (APX) علاوه بر موارد فوق شامل ۲/۰ میلی مولار آسکوربات نیز بود. سپس به مدت ۲۰ دقیقه در داخل سانتریفیوژ با نیروی ۵۰۰۰ دور در دقیقه قرار گرفتند. محلول رویی حاصل به عنوان عصاره ناخالص برای اندازه‌گیری فعالیت آنزیم‌های آنتی‌اکسیدان استفاده شد.

اندازه‌گیری فعالیت آنزیم آسکوربات پراکسیداز (APX)

فعالیت آنزیم APX در تمام تیمارها و تکرارها با استفاده از روش «شن و ازادا»^[4] با تغییرات اندکی اندازه‌گیری شد. ml ۰/۵ بافر فسفات ۵۰ میلی مولار با pH ۷ شامل EDTA ۱/۰ میلی مولار، آسکوربات ۰/۵ میلی مولار، ml ۰/۲ H₂O₂ ۱% (V/V) برداشته و روی آن ml ۱/۰ آنزیم استخراجی اضافه شد سپس فعالیت آنزیم بر اساس اکسید شدن آسکوربات و خواندن جذب محلول با دستگاه اسپکتروفوتومتر در طول موج ۲۴۰ nm اندازه‌گیری شد که همراه با کاهش جذب در طی دو دقیقه فعالیت آنزیم بود. منحنی استاندارد با غلظت‌های ۲۰، ۴۰، ۶۰، ۸۰ و ۱۰۰ میکرو گرم تهیه شد.

اندازه‌گیری فعالیت آنزیم گایاکول پراکسیداز (GPX)

فعالیت (GPX) در همه تیمارها و تکرارها با استفاده از روش آپادایا^[2] و همکاران [۲۳] انجام گرفت. ml ۰/۵ از بافر فسفات ۵ میلی مولار برداشته و روی آن ml ۱ H₂O₂ ۱% (V/V) ml ۱ گایاکول ۱% و ml ۰/۳ عصاره آنزیم استخراجی اضافه نموده و فعالیت آنزیم در طی دو دقیقه با دستگاه اسپکتروفوتومتر در طول موج ۲۰ nm اندازه‌گیری شد.

اندازه‌گیری فعالیت آنزیم کاتالاز (CAT)

فعالیت آنزیم کاتالاز با استفاده از روش میلی و شن^[۱۶] اندازه‌گیری شد. ml ۰/۵ از بافر فسفات ۵۰ میلی مولار pH=۷/۴ برداشته و روی آن ml ۰/۱ H₂O₂ ۱% و ml ۰/۳ عصاره آنزیمی اضافه شد و فعالیت آنزیم در طی دو دقیقه با دستگاه اولتراسپکتروفوتومتر در طول موج ۲۴۰ nm اندازه‌گیری شد.

آنالیز آماری

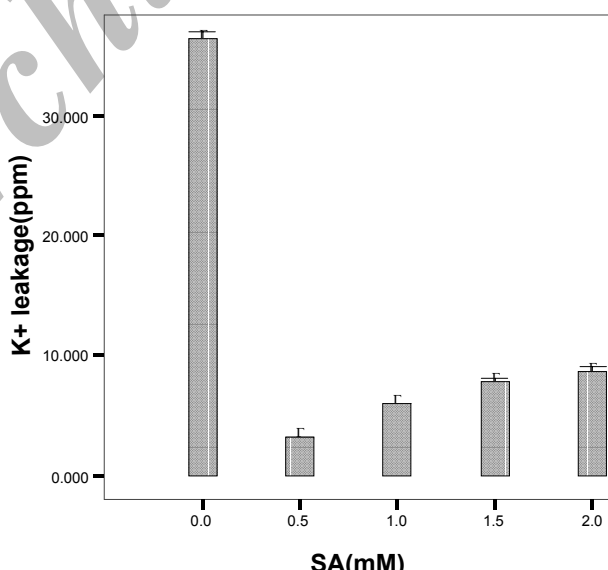
در این مقاله برای رسم نمودارها از برنامه رایانه‌ای EXCEL و SPSS استفاده شده است و بارهای عمودی نمودارها نشانگر خطای معیار (\pm SE) هستند.

نتایج و بحث

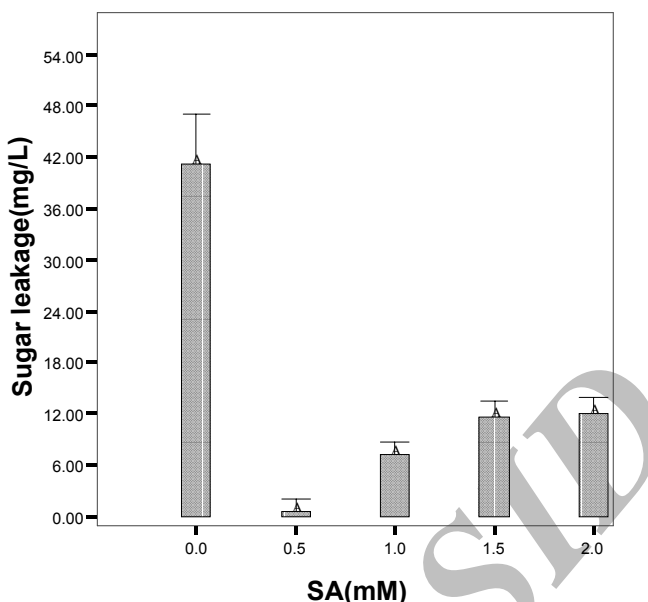
مقدار پتابسیم و قندهای محلول نشت یافته به محیط کشت که نشان‌گر صدمه سرما به غشاها سلولی است انداز مگیری شد. مقدار K^+ در اثر تیمار سرما حدود ۳۶ پیام بود ولی با تیمار سرما به همراه SA از میزان نشت K^+ به طور معنی‌داری کاسته شد. بهترین غلظت SA برای جلوگیری از صدمه سرما در حد ۰/۵ میلی‌مولار بود (نمودار ۱). سایر غلظت‌های SA نیز از نظر نشت K^+ با تیمار شاهد اختلاف معنی‌داری نشان دادند.

انداز مگیری قندهای نشت یافته نیز نشان داد که بیشترین مقدار نشت از آن تیمار شاهد است؛ ولی در اثر استقاده از SA به همراه تیمار سرما، از مقدار نشت قندهای محلول به طور معنی‌داری کاسته شد. در این مورد نیز غلظت ۰/۵ میلی‌مولار SA بیشترین اثر کاهنده از خسارت سرما را نشان داد (نمودار ۲).

اثر توام سرما SA بر رشد طولی ریشه‌های تربچه در دمای ۲/۵ و ۲۵ درجه سانتی‌گراد بررسی شد. نتایج در جدول ۱ درج شده است. کاهش رشد طولی ریشه نیز شاخص بارزی از صدمه سرما است. از داده‌های این جدول روشن می‌شود که در اثر سرما از طول ریشه‌ها کاسته شده واژ ۱۱۱/۵ میلی‌متر به ۷۱/۳ میلی‌متر می‌رسد. از طرف دیگر، در تیمار C° ، در اثر افزایش SA، از طول ریشه‌ها کاسته می‌شود. ولی در تیمار $2/5^{\circ}C$ ، غلظت ۰/۵ میلی‌مولار SA، از کاهش رشد ریشه در مقایسه با شاهد جلوگیری نموده ولی غلظت‌های بالاتر، به صورت بازدارنده رشد ریشه عمل کرده و با اثر سرما همیاری کرده است. نتیجه این آزمایش با نتایج نشت K^+ و قندهای محلولی همسویی دارد و همدیگر را تأیید می‌کنند. بنابراین می‌توان نتیجه گرفت که در غلظت ۰/۵ میلی‌مولار از خسارت سرما جلوگیری می‌کند و تربچه را به سرما مقاوم می‌سازد.



نمودار ۱ - تأثیر سالیسیلیک اسید بر روی نشت پتابسیم
به محیط کشت در دانه‌رست‌های تربچه در طی تیمار سرما

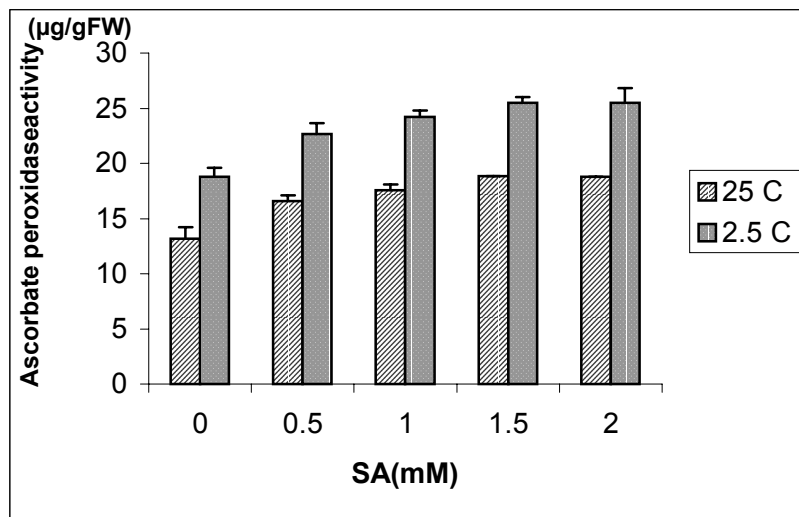


نمودار ۲- تأثیر سالیسیلیک اسید بر روی نشت قندهای محلول به محیط کشت دانه‌رست‌های تربچه در طی تیمار سرما

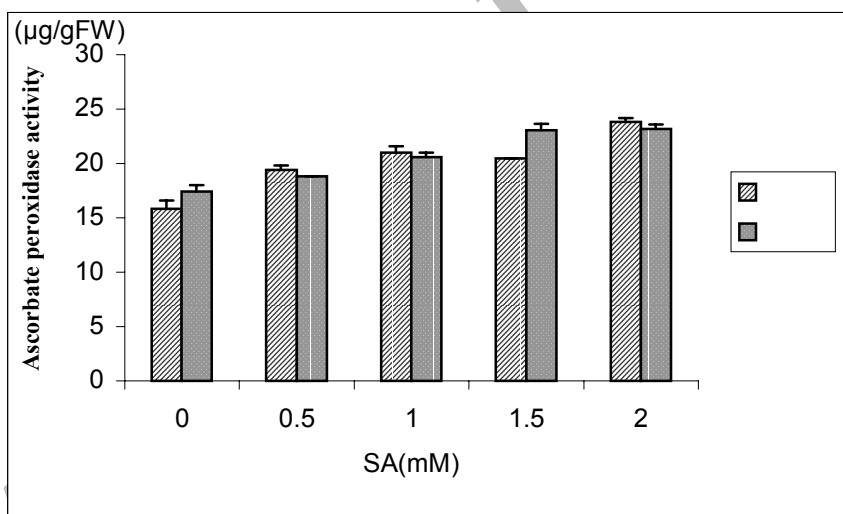
جدول ۱- اثر سالیسیلیک اسید در ایجاد مقاومت به سرما در دانه‌رست‌های تربچه

خطای معیار \pm طول ریشه (میلی‌متر)		
SA (mM)	۲/۵ °C	۲۵ °C
۰	۷۱/۳۳ \pm ۰/۸۸	۱۱۱/۵۳ \pm ۱/۹۳
۰/۵	۷۱/۳۳ \pm ۰/۶۶	۴۵/۵۰ \pm ۲/۴۳
۱	۴۲/۳۴ \pm ۰/۶۹	۲۴/۲۰ \pm ۰/۷۵
۱/۵	۳۳/۲۳ \pm ۰/۳۹	۱۰ \pm ۰/۵
۲	۲۱/۳۰ \pm ۰/۳۵	۱۰ \pm ۰

سنجهش فعالیت آنزیم‌های آنتی‌اکسیدان نشان داد که فعالیت آنزیم APX در بافت‌های ریشه و ساقه در تیمار ۲/۵°C افزایش معنی‌داری در مقایسه با تیمار ۲۵°C دارد (نمودارهای ۳ و ۴ را ببینید). حداقل فعالیت این آنزیم در ریشه‌ها در غلظت ۱ میلی‌مولار SA مشاهده می‌شود؛ ولی در غلظت‌های بالاتر، اختلافات معنی‌دار نیست (نمودار ۳) ولی در اندام هوایی حداقل فعالیت این آنزیم در غلظت ۱/۵ میلی‌مولار مشاهده می‌شود (نمودار ۴). به علاوه تفاوت بین تیمارهای ۲/۵ و ۲۵ درجه سانتی‌گراد در ساقه خیلی بارز نیست.

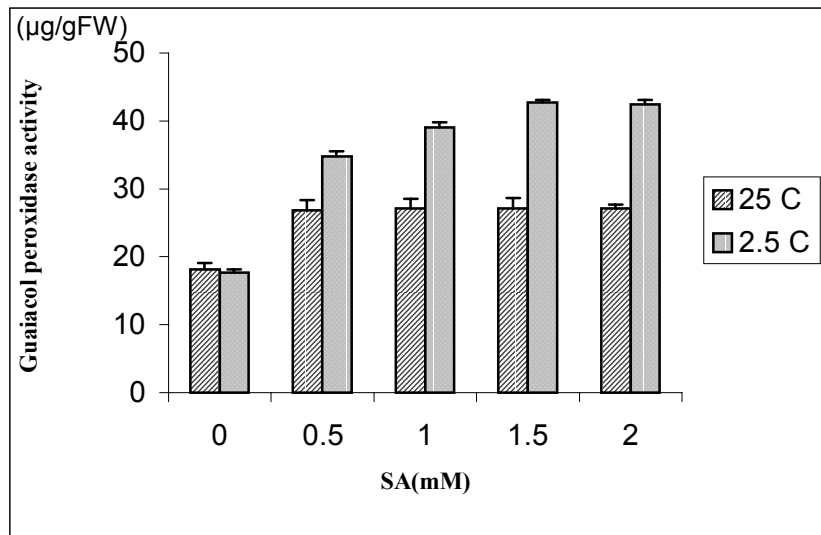


نمودار ۳- اثر SA روی فعالیت آزیم آسکوربات پراکسیداز در ریشه های دانه هست های تربچه در دو تیمار دمایی ۲۵ و ۰/۵ درجه سانتی گراد

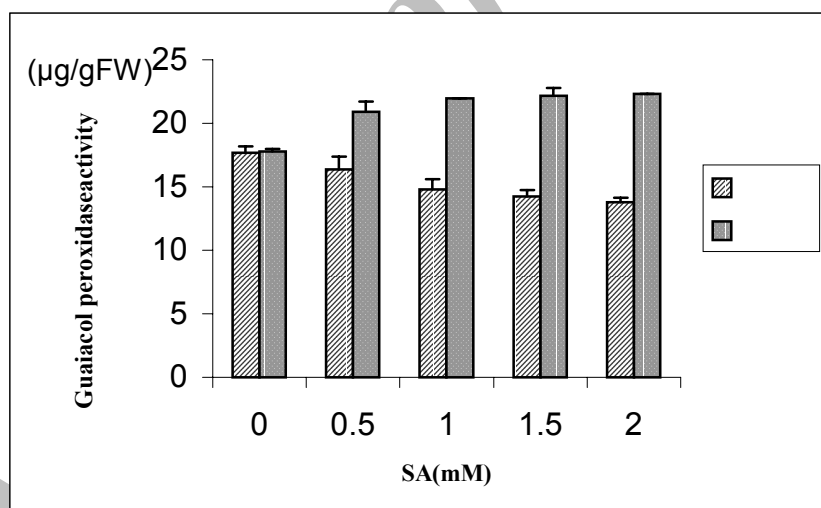


نمودار ۴- اثر SA روی فعالیت آزیم آسکوربات پراکسیداز در اندام هوایی دانه هست های تربچه در دو تیمار دمایی ۰/۵ و ۲۵ درجه سانتی گراد

سنجد آزیم GPX در ریشه نشان داد که اضافه کردن SA سبب افزایش فعالیت آن در 25°C می شود، ولی تفاوتی بین فعالیت آن در غلظت های مختلف SA مشاهده نمی شود (نمودار ۵). اما فعالیت GPX در تیمار $2/5^{\circ}\text{C}$ بهمراه افزایش غلظت SA، افزایش معنی داری نشان می دهد. ولی در اندام هوایی در تیمار 25°C از فعالیت آن به موازات افزایش غلظت SA، کاسته می شود. اما در تیمار $2/5^{\circ}\text{C}$ ، فعالیت GPX در غلظت $0/5$ میلی مولار افزایش معنی داری در مقایسه با شاهد نشان می دهد. ولی، با افزایش بیشتر غلظت SA، تقریباً ثابت می ماند (نمودار ۶).

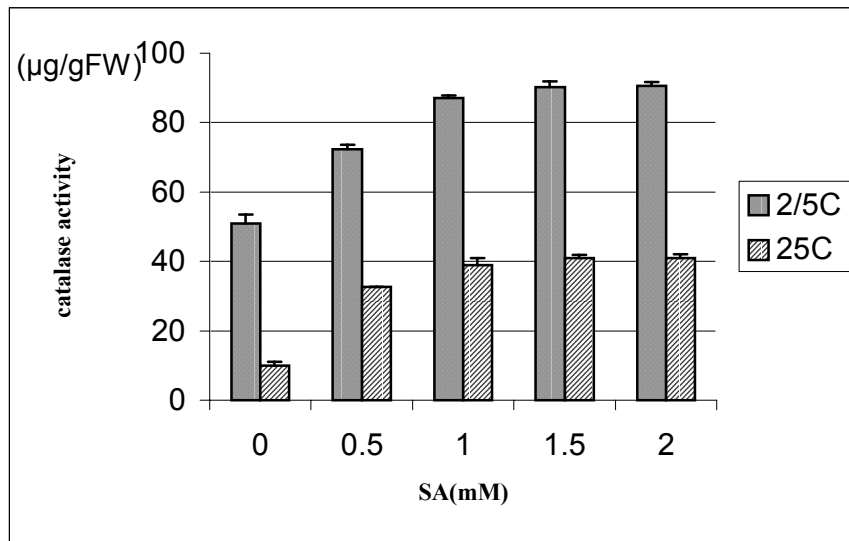


نمودار ۵- اثر SA روی فعالیت آنزیم گایاکول پراکسیداز در ریشه‌های دانه‌رست‌های تربچه در دو تیمار دمایی ۲۵ و ۲۰ درجه سانتی‌گراد

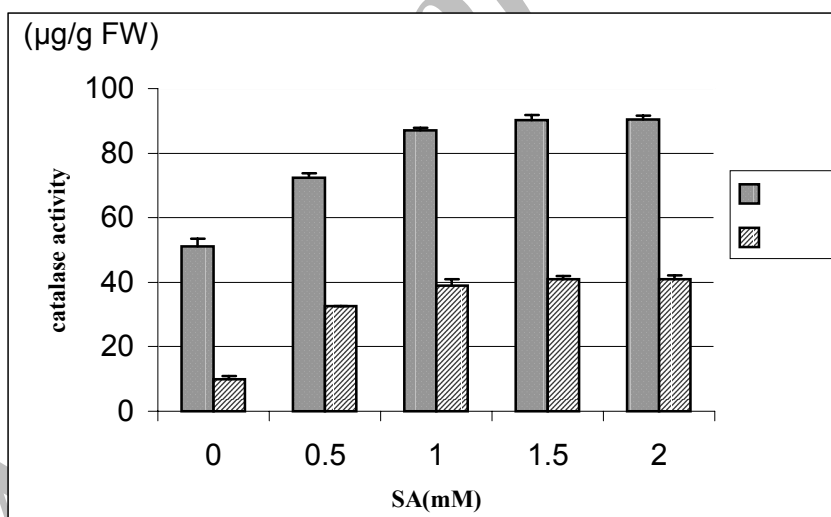


نمودار ۶- اثر SA روی فعالیت آنزیم گایاکول پراکسیداز در اندام هوایی دانه‌رست‌های تربچه در دو تیمار دمایی ۲۵ و ۲۰ درجه سانتی‌گراد

فعالیت آنزیم کاتالاز در اندام هوایی تربچه به موازات افزایش غلظت SA، افزایش معنی‌دار می‌یابد. از طرف دیگر، این افزایش فعالیت، در تیمار 25°C بسیار بالاتر از 20°C است (نمودار ۷). ولی در ریشه‌ها، به موازات افزایش غلظت SA، فعالیت آنزیم کاتالاز افزایش می‌یابد ولی اختلافی بین تیمار 25°C و 20°C سانتی‌گراد مشاهده نمی‌شود (نمودار ۸).



نمودار ۷- اثر اسید سالیسیلیک روی فعالیت آنزیم کاتالاز در اندام هوایی
دانه‌رست‌های تربچه در دو تیمار دمایی ۲۵/۰ و ۲۵ درجه سانتی‌گراد



نمودار ۸- اثر اسید سالیسیلیک روی فعالیت آنزیم کاتالاز در ریشه‌های دانه‌رست‌های
تربچه در دو تیمار دمایی ۲۵/۰ و ۲۵ درجه سانتی‌گراد

در تفسیر نتایج می‌توان گفت سرما موجب تجمع رادیکال‌های فعال اکسیژن (ROS) مثل سوپراکسید، هیدروژن پراکسید و رادیکال‌های هیدروکسیل می‌شود [۸]. ROS‌ها احتمالاً سیگنال‌هایی هستند که جاروکننده‌های ROS و دیگر مکانیسم‌های محافظتی را الفا می‌کنند [۱۹]. این رادیکال‌های فعال عوامل اکسیدان قوی هستند و موجب آسیب رسیدن به لیپیدها و DNA سلول‌ها می‌شوند [۲۶]. بعضی از محرک‌های زیستی مثل SA موجب

سنتر آنتی اکسیدان ها می شوند و چنان که نتایج نیز نشان می دهد فعالیت آنزیم های آنتی اکسیدان نیز افزایش می باید که این آنزیم ها، O_2^- ایجاد شده در اثر تنش سرما را به H_2O_2 تبدیل می کنند و سپس آنرا به H_2O متابولیزه می سازند. وجود APX علاوه بر نقش در متابولیزه نمودن H_2O_2 جهت احیاء آسکوربات نیز ضروری به نظر می رسد. پس SA با افزایش فعالیت آنزیم های آنتی اکسیدان موجب پاکسازی ROS های ایجاد شده در اثر تنش سرما می شود که در نتیجه مولکول های فعال حیاتی از آسیب اکسیدانتیو ناشی از تنش در امان می مانند و این مکانیسم اصلی برای سازش دانهرست های تربچه به سرما است، که با نتایج، از آزمایش ها نشت K^+ و قند های یافته نیز تأیید می شود. در این راستا نتایج حاصل از آزمایش های ما با کار ژاندا^۱ و همکاران [۱۲] در سال ۱۹۹۹ و همچنین با کار کانگ^۲ و سالتیویت^۳ [۱۳] در سال ۲۰۰۲ همسویی نشان می دهد، با این تفاوت که در دانهرست های تربچه فعالیت آنزیم های آنتی اکسیدان هم در اندام هوایی و هم در اندام زمینی افزایش می باید در حالی که در طی کار کانگ و همکاران روی برنج، خیار و ذرت فعالیت آنزیم ها فقط در بافت هوایی افزایش می باید. نتایج حاصل از بررسی حاضر بر روی دانهرست های تربچه نشان داد که بین تحمل به سرما و فعالیت سه آنزیم آنتی اکسیدانی APX؛ GPX و CAT همبستگی مستقیمی وجود دارد و SA یک نیاز اساسی جهت سازش برای تنظیم واکنش های اکسیدانتیو و حمایت مؤثر از مکانیسم دفع مسمومیت در گیاهان است.

منابع

1. حدادچی غلامرضا. بیوشیمی و فیزیولوژی گیاهی (عملی). انتشارات بخش فرهنگی جهاد دانشگاهی منابع طبیعی دانشگاه مازندران. ۱۳۶۵، چاپ اول.
2. Azada K, Takahahi M. Production and scavenger of active oxygen in photosynthesis. In: ky le DJ, Osmond CB, Arntzen CJ. Photo inhibition: Topics in photosynthesis. Elsevier Amsterdam. 9 (1987) 227-287.
3. Buchanan B. B., Gruissem W, Jones. Biochemistry and molecular biology of plant physiology.ISBN.0-943088 (2001) 39-43.
4. Chen G. X., Asada K. Ascorbate peroxidase in tea leaves: Occurrence of two isozymes and the differences in their enzymatic and molecular properties. Plant Cell Physiol. 30 (1989) 987-998.

5. Dat J., Christine H. Foyer and Scott M. Changes in salicylic acid and antioxidants during induced thermotolerance in Mustard seedling. *Plant Physiol.* 118 (1998)1455-1461.
6. Ehyedi A. J., Yalpani N, Silvenman P. and Raskin I. Signal molecules in systemic plant resistance to pathogenes and pestes. *Cell.* 70 (1992) 879 – 886.
7. Esashi Y., Wakabyashi S. , Tsukada Y. and Sato H. S. Possible involvement of ethylene-stimulated germination of Cocklebur seed. *Plant Physiol.* 63 (1979) 1039– 1043.
8. Hasagawa P. M., Bressan R. A. , Zhu J. K. and Bohner H. J. Plant cellular and molecular responses to high salinity. *Annu.Rev. Plant Mol. Plant Physiol.* 51 (2000) 463-499.
9. Hauptmann N., Cadenas E. The oxygen paradox: Biochemistry of active oxygen. In: Sandalios JG(ed) oxidant defense cold spring. Harbor laboratory Press. Plain view NY.(1997) 120.
10. Hodges D. M., Andrews J., Jonson D. A., Hamilton R. I. Antioxidant enzyme responses to chilling stress indifferentially sensitive in bred maize lines. *Bot.* 43 (1997)1105-1113.
11. Hodgson R., Raison Jk. Superoxide production by thylakoids during chilling and implication in the susceptibility of plants to chilling- induce photo inhibition. *Planta.* 183 (1997) 222-228.
12. Janda A, Szalai G.,Tari I., Paldi E. Hydroponic treatment with salicylic acid decrease the effect of chilling injury in maize plant. *Planta* 208(1999) 175-180.
13. Kang H. M., Saltiveit M. E. Activity of enzymatic antioxidant defens systems in chilled and heat-shocked cucumber seedling radicals. *Plant Physiol.* 113 (2001) 548-559.
14. Kang H. M., Saltiveit M. E. Chilling tolerance of maize, cucumber and rice seedling(leaves and roots) and differentially affected by salicylic acid. *Physiologia Plantarum.* 115 (2002)577-576.
15. Larkidale J, and Knighth H. Protection against heat stress-induce oxidative damage in Arabidopsis, abscisic acid, ethylene and salicylic acid. *Plant Physiol.*128(2000)682- 695.

16. Maehly A. C, Chen B. The assay of catalase and peroxidase In: Glic D(ed) methods of biochemical analysis. Inter science publisher, New York. Ny. 1 (1959) 357-425.
17. Malamy J, and Klessig D. F. Salicylic acid and plant disease resistance. Plant J. 2 (1992) 645-654.
18. Martinez. Salicylic acid mediated by the oxidative burst is key molecular in local and systemic responses of cotton challenged by an a virulent race *Xanthomonas campestris* PV malvacearum. Plant Physiology. 122 (2000) 757-766.
19. Prasad T. K., Anterson M. d, Martin B., Acan Steward C. R. Evidence for chilling-induced oxidative stress in maize seedling and a regulatory for hydrogen peroxidase. Plant Cell. 6 (1994) 65-71.
20. Rab A., Saltveit ME. Differential chilling sensitivity in cucumber seedling. Plant Physiol. 96(1996a) 375-382.
21. Rab A., Saltveit ME. Sensitivity of seedling radicles to chilling tolerance. J. AM. Soc. Hor. Sci. 121(1996b) 711-715.
22. Shen W., Nadak, Tachibana S. Effect of cold treatment on enzymic and none enzymic antioxidant activities of chilling tolerant and chilling-sensitive cucumber cultivars.J. Jap. Soc. Hort. Sci. 68 (1999) 967-973.
23. Upadhyaya A., Sankhla D., Davis TD., Sankhla N., Smidt BN. Effect of paclobutrazol on the activities of some enzymes of activated oxygen metabolism and lipid peroxidation in senescing soybean leaves. Plant Physiol. 121 (1985) 453-461.
24. Waise RR., Naylor AW. Chilling-enhanced photo oxidation: Evidence for the role of singlet oxygen and super oxide in the break down of pigments and endogenous antioxidants. Plant Physiol. 83 (1987) 278-282.
25. Yalpani N., Raskin I. Salicylic acid: A systemic signal in plant disease resistance. Trend Microbiol. 1 (1993) 88-92.
26. Zhang X., Schimdt R. Biostimulating turgrasses. Grounds Maintenance. Nov. 1(1999)